

УДК 620.197:620.194:669.788

С.Д. Цибуля, канд. техн. наук

Н.П. Буяльська, канд. техн. наук

Чернігівський державний технологічний університет, м. Чернігів, Україна

В.Г. Старчак, д-р техн. наук

Г.М. Мачульський, канд. сільгосп. наук

Чернігівський національний педагогічний університет імені Т.Г. Шевченка, м. Чернігів, Україна

## КОМПЛЕКСНЕ ЗАБЕЗПЕЧЕННЯ ЯКОСТІ ЗАХИСТУ ВІД КОРОЗІЇ

На основі комплексного системного кореляційного аналізу «Електронна структура, термодинамічні параметри Ін – захисні, адсорбційні властивості» здійснено вибір оптимального синергіста в складі синергічної захисної композиції (СЗК) на вторинній сировині. При виборі оптимального інгібітора враховано: здатність складових до N-, O-, S-, C-протонування, депротонування, утворення карбаніонів; електронну структуру та термодинамічні параметри, в залежності від форм дії – молекулярної, катіонної, аніонної. Розроблена СЗК забезпечує комплексний захист сталі від загальної корозії, наводнювання та від основної причини техногенних аварій – корозійної втоми, корозійного розтріскування та водневої деградації, за рахунок модифікації поверхні металовиробів наномасштабними металохелатними плівками.

### Вступ

Відомо, що корозійні процеси, особливо в кислих, лужних,  $H_2S$ -вмісних середовищах, супроводжуються наводнюванням, яке часто більш небезпечне, ніж, власне, корозія. Інтенсивність його залежить від багатьох факторів: структури сталі (зменшення поглинання водню в ряду – аустеніт, перліт, мартенсит, троостит; дрібнозерниста сталь поглинає водню більше ніж крупнозерниста). З маловуглецевої сталі водень десорбується (на 90%) протягом 7 діб (за одну добу – 50%). Десорбцію уповільнюють Ti, V, Cr, Zr, Nb. З підвищенням в сталі вмісту вуглецю, холодної деформації, мартенситної складової підсилюється воднева крихкість. У ланках, що збагачені воднем, формується пористість, тріщини. В деформованому феріті розчинність водню в 2...3 рази вище, ніж у недеформованому. Водень знижує температуру мартенситного перетворення, гальмує рухомість вакансій [1-4].

Водень, що потрапив до металу, змінює його адсорбційні властивості. Специфічна адсорбція Ін може частково виключити розряд  $H^+$  та, таким чином, сприяти переносу електронів на ліганда (з утворенням π-дативних зв'язків). Протонування передує стадії переносу заряду. Протонована молекула Ін відновлюється легше, ніж непротонована. За правилом електронегативності (ЕН) Шиката та Тачі: із збільшенням ЕН замісників у молекулі та числа подвійних зв'язків спостерігається полегшення відновлення молекул Ін. Певну роль в електронному переносі грають полярні (індукційні), мезомерні та стеричні ефекти замісників. Металохелатування відбувається за умови:  $C_L (C_{H,L})$  більше  $C_M (C_L, C_{H,L}, C_M$  – концентрації вільних, зв'язаних лігандів, катіонів металу) [5; 6].

Мета роботи – провести вибір ефективного, поліфункціонального Ін на основі комплексного системного кореляційного аналізу.

### Методи дослідження

Дослідження проведено за комплексною системою оцінки ефективності захисту сталі 20, 45 та ін. в корозійно-наводнювальних середовищах із застосуванням гравіволовиметрії, електрохімічних методів (потенціостат П5827М), фізико-механічних випробувань (на малоциклову втому – ІП-2, корозійне розтріскування) [7-11]. За MNDO-PM3 здійснено розрахунок термодинамічних характеристик та електронної структури і визначено потенціальні найбільш активні адсорбційні центри (АЦ).

### Результати експерименту та їх обговорення

Експериментальні дані представлено в табл. 1-3 та на рис. 1, 2.

## Термодинамічні параметри та електронна структура Ін 1

Таблиця 1

Характеристики	Ін			
	Mol	Kat 1	Kat 2	An
$\Delta H_f$ , кДж/моль	102,41	683,59	895,32	38,67
I, eV	8,59	12,75	11,61	4,20
-E <sub>п</sub> , eV	3095,09	3104,40	3102,15	3080,42
-E <sub>ел</sub> , eV	22945,55	23435,17	23353,71	22954,85
$\mu$ , D	2,78	-	-	-
q, на:				
N <sub>3</sub>	-.10761	.39507	-.05922	-.10767
N <sub>1</sub>	.26137	.37190	.17340	.36066
S	.09270	.21121	.10692	.07360
O	-.31126	-.30120	-.14116	-.75638
Ph	-.57015	-.58648	-.60107	-.70859

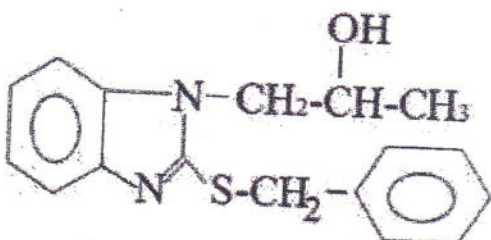
Kat 1 – протонування по N<sub>3</sub>, Kat 2 – по O.

Рис. 1. Хімічна будова Ін 1.

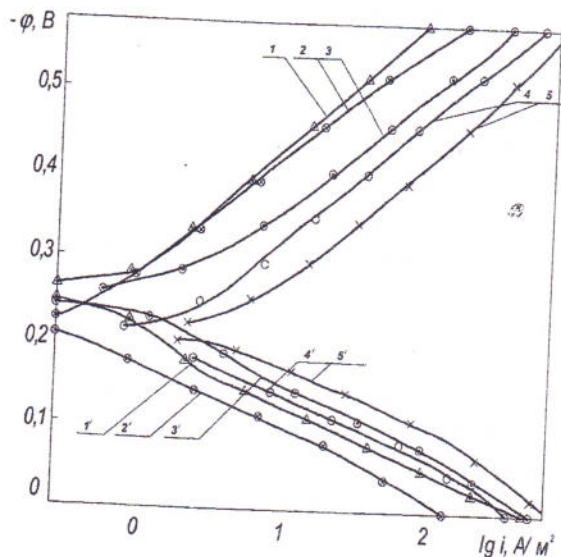


Рис. 2. Поляризаційні катодні (1–5) і анодні (1'–5') криві на сталі 45 у 2M HCl: 1, 1' – In 1; 2, 2' – In 2; 3, 3' – K; 4, 4' – КУБ; 5, 5' – без In

Максимальну реакційну здатність Ін 1 по утворенню металохелатів підтверджено даними табл. 1 та захисними інгібуючими ефектами (рис. 2, табл. 2, 3), що дало змогу розробити синергічну захисну композицію (СЗК) на вторинній сировині (відходи ЧП «Хімволокно» – К, РХП «Азот» – КУБ).

Таблиця 2

Ін	Густіна струму, А/м <sup>2</sup>			- $\phi_c$ , В	$a_k$ , В	$a_a$ , В	Rp, */ мОм·м <sup>2</sup>	
	$i_c$	$i_k$	$i_a$				1	2
-	1,20	79,40	7,94	0,19	0,80	0,67	17,3	8,1
Ін 1	0,13	3,16	5,00	0,25	1,00	0,71	159,5	59,3

\*/1 – сталь 20, 2 – сталь 45

Таблиця 3

Захисні ефекти Ін 1 у 2М HCl								
Сталь	$\gamma_1$	$\gamma_2$	$\gamma_3$	$\gamma_c$	$\gamma_x$	$\gamma_\Sigma$	Z, %	$\beta, \%$
20	1,6	6,5	6,1	9,2	5,0	14,2	93,0	75,3
45	1,7	5,5	6,2	7,3	6,1	13,4	92,5	71,8

Протонування молекули Ін 1 по піридиновому азоту ( $N_3$ -атому) приводить до значного підвищення позитивного заряду на  $N_{1-}$ ,  $N_3$ -атомах та атомі S, що сприяє утворенню  $\pi$ -дативних зв'язків, з переносом заряду на ліганд ( $M \xrightarrow{e} L$ ), із зв'язуючими молекулярними орбіталями (МО). Цьому сприяє обмеженість утворення  $\pi$ -донорно-акцепторних зв'язків із розрихлюючими МО, за рахунок значної величини потенціалу іонізації катіону (1) – 12,75 еВ. Індуктивний ефект алкільного замісника підвищує хемосорбційну властивість ендоатомів N та S. В результаті утворюються щільні екраничні шари, що заважають перебігу електродних реакцій, у тому числі розряду іонів гідроксонію. Це підтверджується значним інгібуванням наводнювання ( $\beta=71,8\ldots75,3\%$ ), а також парціальними інгібуючими ефектами  $\gamma_2 > \gamma_3 > \gamma_1$ , (сталь 20), та  $\gamma_3 > \gamma_2 > \gamma_1$  (сталь 45). Це означає, що Ін 1 діє як активаційно-блокувальний. При протонуванні молекули Ін 1 по екзоатому O, можливість утворення  $\pi$ -дативних зв'язків менша за протонування по  $N_3$ -атому та вільної молекули Ін: позитивний заряд на  $N_1$  знижується майже в 2 рази. Активізація Ін 1 здійснюється також за рахунок його дії як карбаніону при депротонуванні молекули. До того ж криві ЕКК ( $\sigma$ , Е-криві) підтверджують його дію як аніонаактивного Ін (Е(0) зміщується в негативний бік). Спостерігається активізація електроно-донорних центрів – на атомі O (електронна густина зростає майже в 2,5 рази), досягає максимального значення електронна густина на нуклеофільному центрі – на Ph. Це сприяє утворенню  $\pi$ -донорно-акцепторних зв'язків. До того ж складний замісник  $-S-CH_2-C_6H_5$  по атому  $C_2$  обумовлює позитивний мезомерний ефект (+M), який збагачує електронну густину в орто- та пара- положеннях Ph-кільця, що підсилює  $\pi$ -донорно-акцепторну взаємодію ( $L \xrightarrow{e} M$ ), який сприяє низьке значення I (в 2 рази менше за  $I_{mol}$  та в 3 рази за  $I_{kat}$ ). Це інтенсифікує утворення  $\pi$ -металохелатів за донорно-акцепторним механізмом. Разом з тим, електроноакцепторний центр (на  $N_1$ -атомі) має теж високу активність, близьку до протонованої молекули (1).

За результатами гравівolumетрії, поляризаційними кривими, даними витривалості сталі в умовах циклічного та статичного навантаження (МЦКВ, МЦВВ, КР) встановлено оптимальні концентрації складових у СЗК: 10г/л K (КУБ)+1 ммол/л Ін 1. Це відповідає співвідношенню  $C_L (C_{H,L}) = 5\ldots7$  См. Активною складовою K, КУБ є амідні групи в складі ε-К, його олігомерів, де атоми C, N, O мають  $sp^2$ -гіbridизацію і проявляють негативний індукційний та мезомерний ефекти ( $\sigma$ -константи Гамета  $\sigma_m = 0,28$ ,  $\sigma_n = 0,36$ ,  $\sigma_{\bar{n}} = 0,61$ ). Це активізує протонування як по N-, O-, так і C-атомам. СЗК діє як Ін з блокувальною дією  $\gamma_3 > \gamma_2 > \gamma_1 > \gamma_4$ . Ефективність захисту сталі 20 у 2М HCl із СЗК складає (при  $\varepsilon=0,2\%$ ): Z=97,5 та  $\beta=75\%$ .  $\gamma_{CH}^N=1,9$ ; K<sub>KP</sub> (сталь 45,  $\varepsilon=0,4\%$ ) дорівнює 120,  $\gamma_{SiN}=1,5\ldots3,5$ . Наявність стійкої металохелатної захисної плівки підтвер-

джено Оже-, ІЧ-спектрами (Jamp 10S, UR-10) та рентгеноспектральним аналізом (Superprobe 733 Jeol). Характерно, що розроблена СЗК має екологічні переваги: 4 клас небезпеки – малонебезпечні речовини, тоді як такі технічні Ін, як ХОСП-10, уротропін, МСДА, МДА мають 2 клас небезпеки – високонебезпечні речовини.

### **Висновки**

Комплексний системний кореляційний аналіз «Електронна структура, термодинамічні параметри Ін – захисні, адсорбційні властивості» дає можливість здійснити вибір оптимального синергіста в складі СЗК на вторинній сировині, з активізацією його дії в молекулярній, катіонній, аніонній формах Ін, що забезпечує високу якість захисту сталі від корозії, наводнювання, малоциклової втоми, корозійного розтріскування.

### **Список використаних джерел**

1. Сучасне матеріалознавство ХХІ сторіччя / відп. редактор акад. І.К. Походня. – К.: Наук. думка, 1998. – 658с.
2. Механіка руйнування матеріалів і міцність конструкцій / під ред. акад. В.В. Панасюка. – Львів: Каменяр, 1999. – Т.1 – 352 с., Т.2 – 346 с., Т.3 – 286с.
3. Шаповалов В.И. Флокены и контроль водорода в стали / Шаповалов В.И., Трофименко В.В. – М.: Металлургия, 1987. – 160с.
4. Похмурський В.І. Корозійно-механічне руйнування зварних конструкцій / Похмурський В.І., Мелехов Р.К., Круцан Г.М. – Київ: Наук. думка, 1995. – 262 с.
5. Organic electrochemistry. An Introduction and Guide / edited by M.Baizer. Corporate Research Depart. St. Louis Missouri. – New York: Marcel Dekker, 1973. – 732p.
6. Помогайло А.Д., Уфлянд Н.Е. Макромолекулярные металлохелаты / Помогайло А.Д., Уфлянд Н.Е. – М.: Химия, 1991. – 304с.
7. Старчак В.Г. Комплексная система контроля и оценки эффективности защиты сталей от коррозионно-механических разрушений в наводороживающих средах / Старчак В.Г. – Чернигов: ВСНТО, 1983. – 69с.
8. Старчак В.Г. Повышение стойкости стали в электрохимических процессах: автореф. дис. ... докт. техн. наук: 05.17.14, 05.17.03 / Старчак В.Г.; КПИ. – Киев, 1988. – 37 с.
9. Наукові основи підвищення екологічної безпеки металоконструкцій модифікацією їх поверхні в протикорозійному захисті / В.Г. Старчак, Н.П. Буяльська, С.Д. Цибуля та ін. // Фіз.-хім. механіка матеріалів. Спец. випуск. – 2004. – №4. – Т. 2. – С. 853-859.
10. Старчак В.Г. Роль гетероатомов в образовании металлохелатныхnanoструктур приповерхностной модификации материалов / Старчак В.Г., Алексеенко С.А., Буяльская Н.П. // Наноструктурное материаловедение. – 2008. – IV-XII. – С.70-84.
11. Старчак В.Г. Екологічна безпека конструкційних матеріалів / Старчак В.Г., Бондар О.І. – К.: ДЕІ, 2008. – 40с.